

強制振動型ナノCMMレーザトラッピングプローブの基本特性

大阪大学大学院工学研究科 ○高谷裕浩, 今井敬次郎, 河 兑坪, 三好隆志

要 旨

マイクロ部品を対象とした、nmオーダの精度を持つ3次元座標測定機（ナノCMM）の位置検出プローブとして、集光レーザビームによってトラップされた微粒子を数十nmの振幅で強制振動させる、新たな強制振動型ナノCMMレーザトラッピングプローブを提案している。100Hzの横方向振動を与えたプローブ球を測定対象に接近させ、振動振幅信号の変化を検出することによって、25nm以上の高精度な位置検出分解能を有することを示した。

1. はじめに

近年、半導体微細加工や超精密機械加工技術の急速な発展によって、高精度なマイクロ部品の製作が可能になってきている。それに伴い、3次元マイクロ形状を対象としたナノCMMの開発が急務の課題となっている。筆者らは、レーザトラップにより大気中に捕捉された微粒子をナノCMMの位置検出プローブとして用いることを提案し、その位置検出能の検討を行ってきた¹⁾。本報では、新たな強制振動型ナノCMMレーザトラッピングプローブを開発し、プローブ球の横方向振動を試み、振動振幅信号の変化に基づいた位置検出特性を調べたので報告する。

2. 強制振動型プローブの原理

強制振動型ナノCMMレーザトラッピングプローブの位置検出原理は、大気中で3次元的に保持された真球度の高い直径数μmの微粒子に強制振動を与え、プローブ球が物体に近接したときの振幅や周波数など振動状態の変化によって位置検出を行うものである。また、光軸方向と横方向の振動を組合せることによって、図1に示すように、傾斜の小さな測定面に対しては光軸方向の振動、傾斜の大きな測定面に対しては横方向の振動変化か

ら、3次元位置座標を検出することが可能となる。さらに、振動検出信号と熱ゆらぎの影響によるノイズとの分離によって高いS/N比が得られ、ナノメートルオーダの位置検出分解能が達成できる可能性を有している。

3. 実験装置の構成

図2に実験装置の概略を示す。微粒子捕捉光源であるNd:YAGレーザ(波長1064nm)は2軸（図中xy方向）の音響偏向素子（AOD）に入射後、倍率4倍のリレーレンズ系L1, L2を通して、対物レンズにより集光される。リレーレンズ系により、AODの偏向中心と対物の後側開口面は共役な関係となり、対物への入射光量は常に一定となる。レーザトラップにおいて、微粒子はビームスポットへと引き寄せられるので、AODによるビームスポットの焦点面内振動により、プローブ球の横方向振動を発生させることができる²⁾。振動状態のモニタにはHe-Neレーザ(波長632.8nm)を用いる。He-Neレーザ光は偏光ビームスプリッター(PBS)によりYAGと同軸にされた後、プローブ球に照射される。プローブ球によって散乱されたHe-Neレーザ光とNd:YAGレーザ光の一部はミラーを透過し、装置上方へと到達するが、He-Ne光透過干渉フィルタ(Interference filter)により波長632.8nmの光

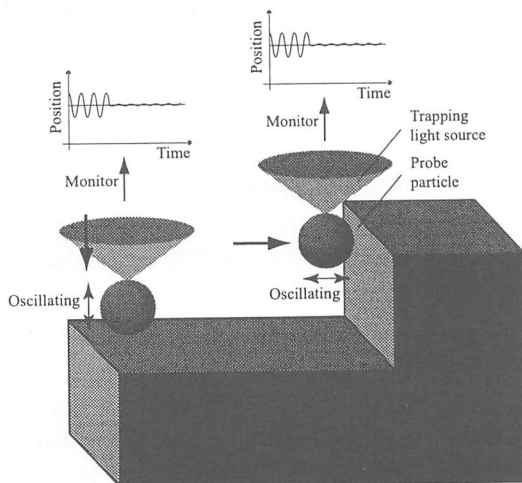


図1 振動型プローブの位置検出原理

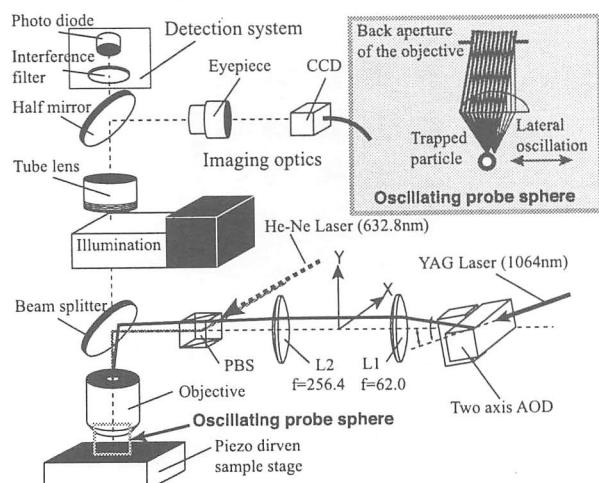


図2 実験装置の構成

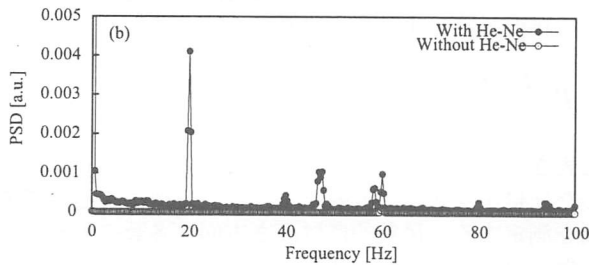
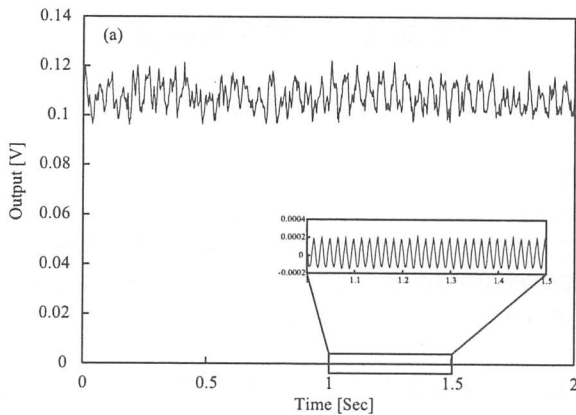


図3 20Hzの励振動によるプローブ球横振動の検出,(a) 時間軸信号,(b) パワースペクトル

以外はカットされ、フォトダイオード(Photo diode)により受光されて、振動検出信号となる。プローブ球は直径 $8\mu\text{m}$ シリカ球を用いており、プローブ球の試料に対する3次元操作は、ピエゾステージ(移動分解能5nm)によって試料を相対的に移動させて行う。

4. 強制振動特性

まず、プローブ球の横方向振動(図2x軸方向)を試みた。振動検出信号の確認を容易にするため、ビームスポットの振動振幅は410nmと大きめに与え、励振振動数は20Hzとした。振動検出信号の時間軸変化およびそのパワースペクトルをそれぞれ図3(a)および(b)に示す。図3(a)よりプローブ球の横方向振動が確認され、さらに、図3(b)の20HzのピークがAODに与えた励振振動数と一致していることがわかる。なお、45Hz付近と60Hzにピークが見られるが、これは励振を行わない場合にも見られることから、He-Neレーザ固有のノイズであると考えられる。さらに、励振振動数を100Hzとし、その振幅を変化させた。このときの信号振幅をプロットしたものを図4に示す。図中実線は振動振幅(理論値)8.28nmから248nmまでのデータに対する最小自乗フィッティングを行ったものである。これより250nm程度までは線形性が保たれることがわかる。この線形近似の適用限界はHe-Ne位置検出光源のスポット径とほぼ一致する。

5. 位置検出基礎実験

次に、位置検出基本特性を調べるために、測定対象(直径 $168\mu\text{m}$ のマイクロガラス)へ接近したときの振動検出信号を測定した。振動方向をX軸方向(図5)、ビーム

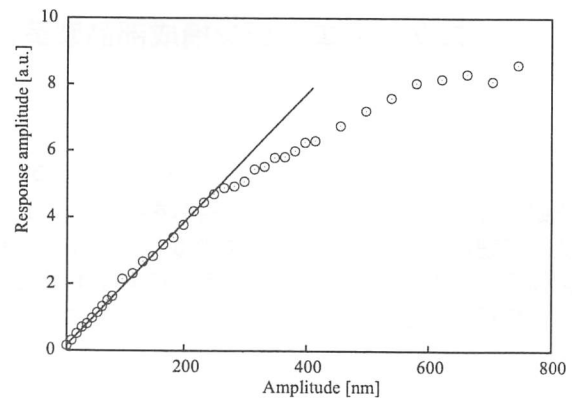
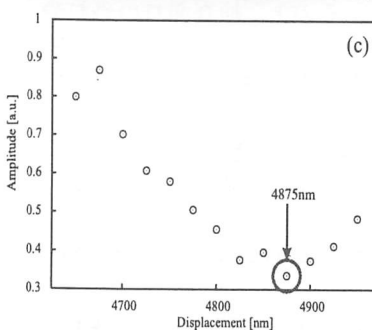
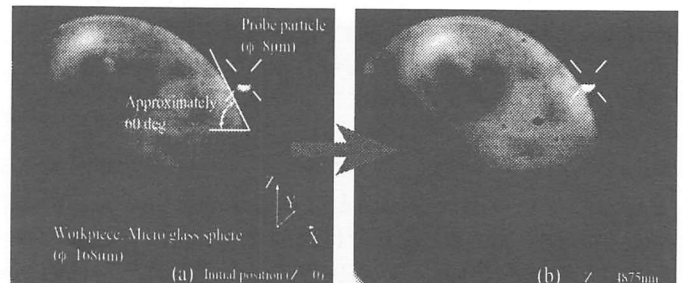


図4 励振振幅と振動検出信号の出力の関係



- (a) プローブの初期位置
- (b) 位置検出位置
- (c) プローブ位置と振動振幅信号

図5 振動型プローブの位置検出原理

スポットの振動振幅41nm、励振振動数100Hzに設定し、図5(a)に示す初期位置よりX軸方向に25nmステップで、60度の傾斜面に対して接近させた。それぞれの位置に対する振動検出信号のパワースペクトルをとり、振動振幅に相当するピーク高さの推移を図5(c)に示す。これより、振動振幅がほぼ線形に減少していく、ほぼ接触した図5(b)の位置において極小値を持った後、再び増加することがわかる。以上より、極小値を取り点で位置検出とすれば、高精度な検出が行える可能性があることを示唆している。

6. まとめ

大気中において、レーザトラップされた微粒子の横方向振動を実現した。また、強制振動型プローブが、60度の傾斜面に対して25nm以上の位置検出分解能を有する可能性を示した。

参考文献

- 1) 高谷裕浩ほか、精密工学会誌、66, 7 (2000) 1081.
- 2) B. A. Nemet, et al. Opt. Lett., 27, 4 (2002) 264.